

# Ψηφιακή Επεξεργασία Εικόνας

Αποκατάσταση εικόνας:  
Απομάκρυνση θορύβου

Γιώργος Σφήκας  
[sfikas@cs.uoi.gr](mailto:sfikas@cs.uoi.gr)

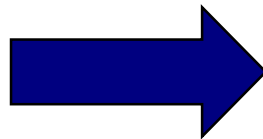
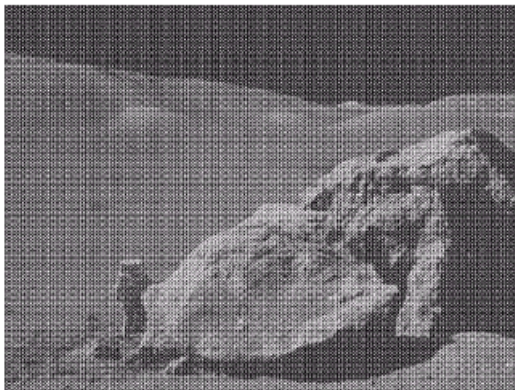
Σε αυτή την διάλεξη θα μιλήσουμε για:

- Γενικά για αποκατάσταση εικόνας
- Μοντέλα θορύβου στις ψηφιακές εικόνες
- Απομάκρυνση θορύβου με χωρικό φιλτράρισμα
- Απομάκρυνση θορύβου με φιλτράρισμα στο πεδίο των συχνοτήτων

# Τι είναι αποκατάσταση εικόνας

Αποκατάσταση εικόνας (Image restoration) είναι η τεχνική με την οποία βελτιώνουμε-αποκαθιστούμε μια εικόνα που έχει ‘υποβαθμιστεί’ (degraded)

- Ταυτοποιούμε / μοντελοποιούμε την διαδικασία υποβάθμισης
- Επιχειρούμε να αντιστρέψουμε την διαδικασία



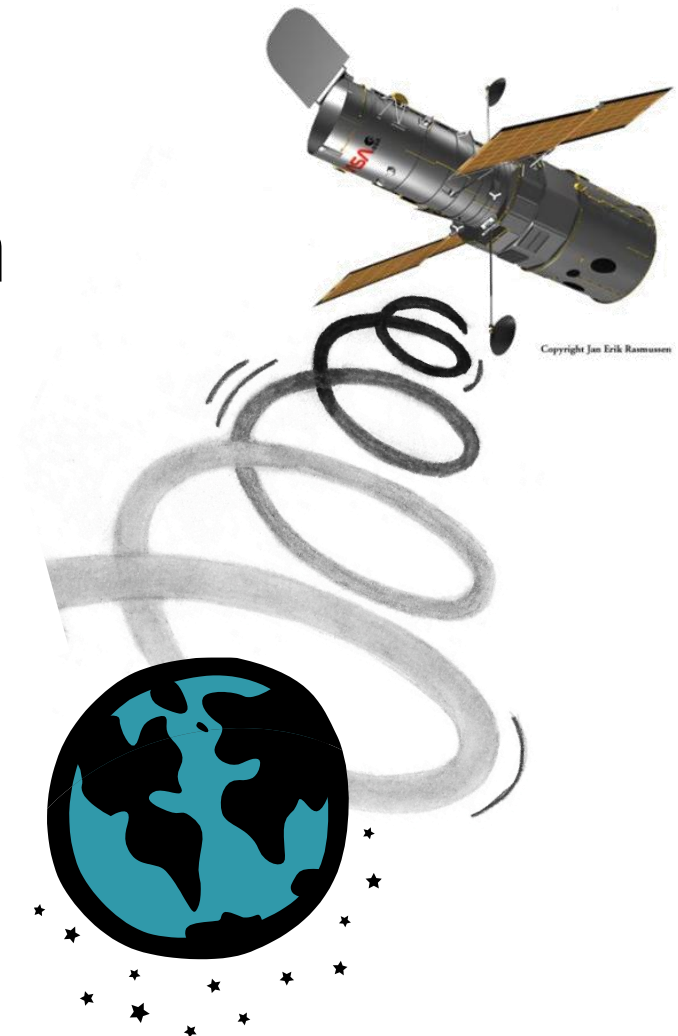
Ο θόρυβος στις ψηφιακές εικόνες εμφανίζεται σαν μέρος της..

- Μετάδοσης της εικόνας από το εικονιζόμενο αντικείμενο στην συσκευή λήψης
- Λήψης της εικόνας / ψηφιοποίησης



Ο θόρυβος στις ψηφιακές εικόνες αντιστοιχεί σε..

- Παρεμβολές κατά την μετάδοση της πληροφορίας στην συσκευή λήψης (ακτινοβολία κλπ)
- Ατέλειες στην συσκευή απεικόνισης



Μπορούμε να μοντελοποιήσουμε την παρατηρούμενη εικόνα σε σχέση με τον θόρυβο ως:

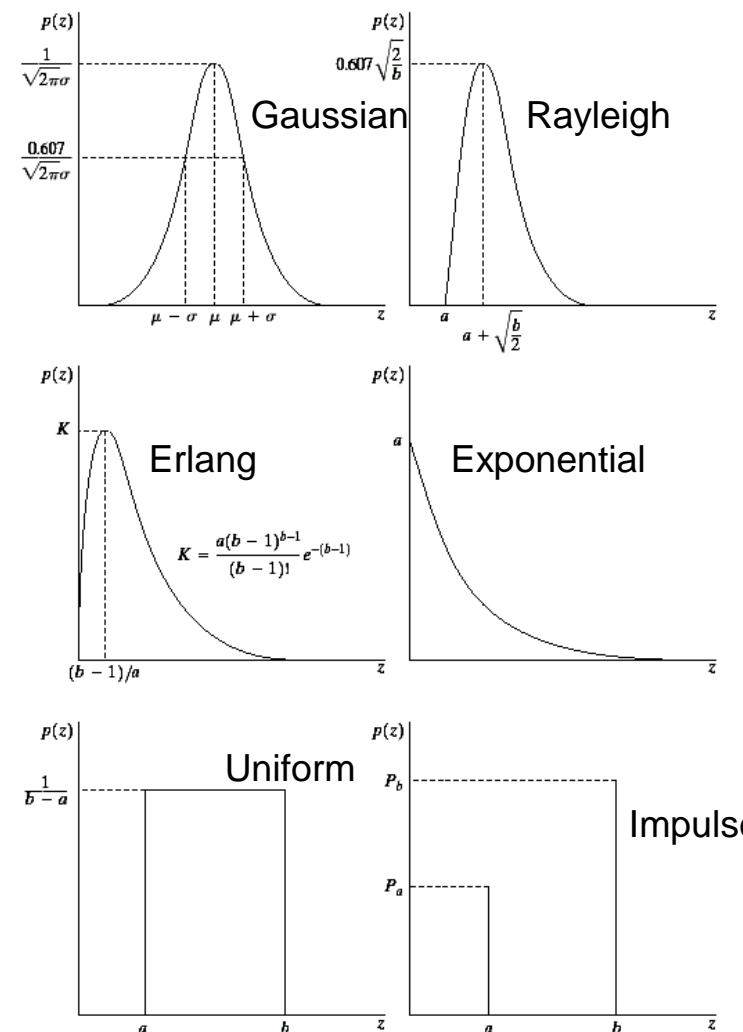
$$g(x, y) = f(x, y) + \eta(x, y)$$

όπου  $f(x, y)$  είναι η αρχική εικόνα,  $\eta(x, y)$  είναι η εικόνα θορύβου,  $g(x, y)$  είναι η παρατηρούμενη εικόνα

Πολλοί τρόποι να οριστεί η τυχαία  $\eta(x, y)$ . Για  $z = \eta(x, y)$ :

– Gaussian

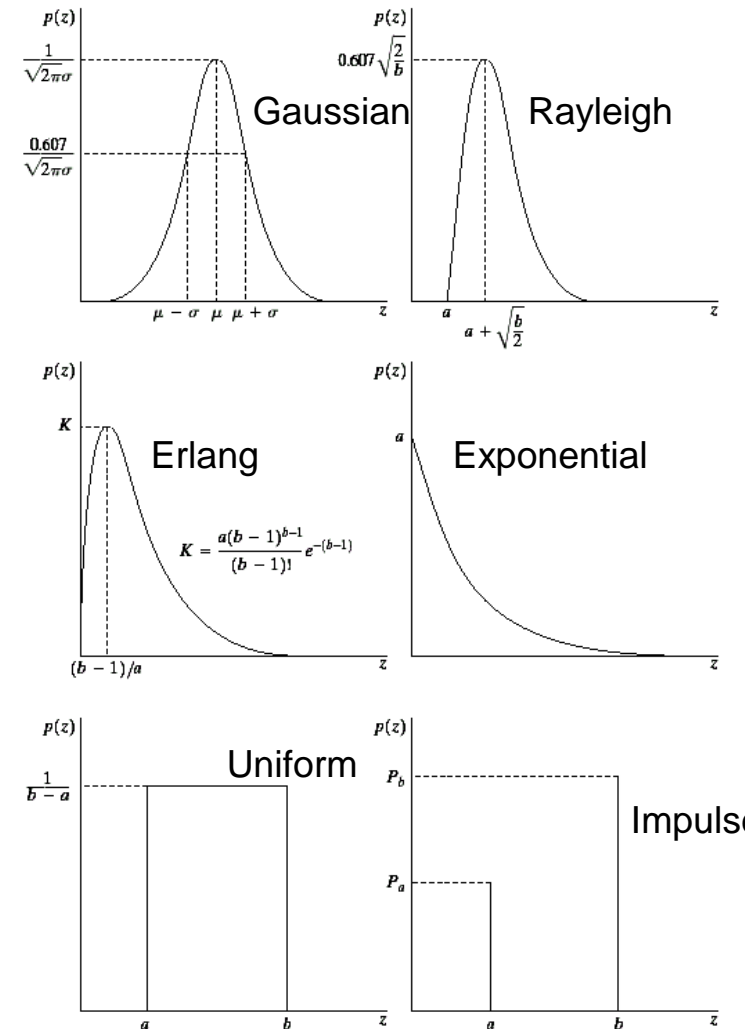
$$p(z) = \frac{1}{\sqrt{2\pi}\sigma} e^{-(z-\mu)^2/2\sigma^2}$$



Πολλοί τρόποι να οριστεί η τυχαία  $\eta(x, y)$ . Για  $z = \eta(x, y)$ :

– Rayleigh

$$p(z) = \begin{cases} \frac{2}{b}(z - \alpha)e^{-(z - \alpha)^2 / b}, & z \geq \alpha \\ 0, & z < \alpha \end{cases}$$

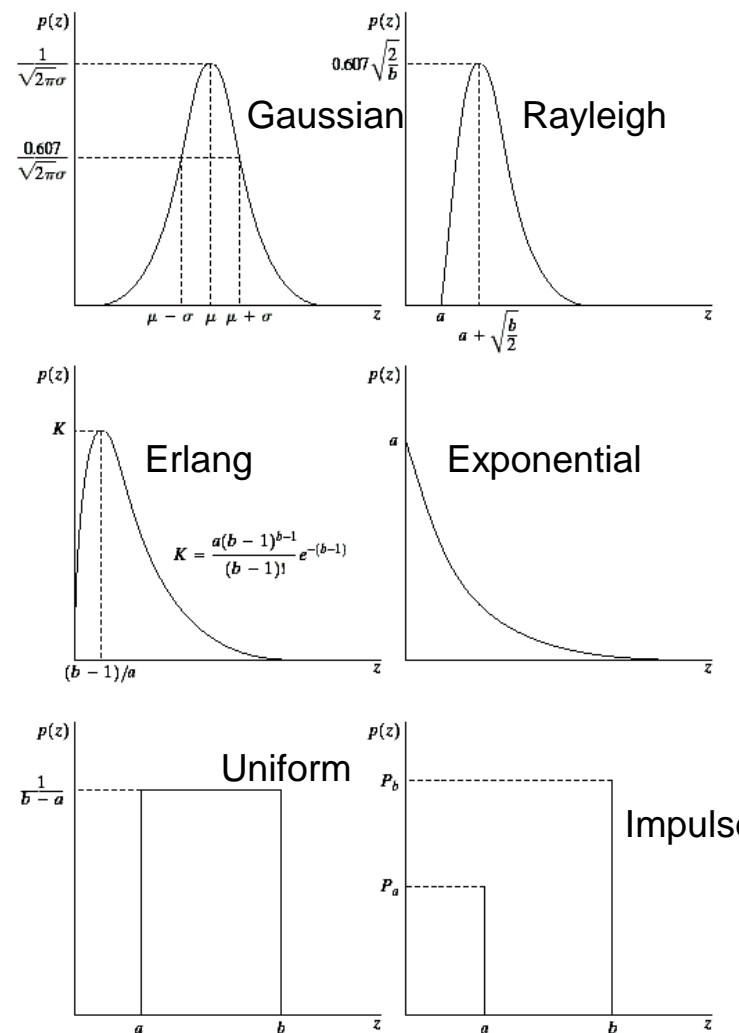




Πολλοί τρόποι να οριστεί η  
τυχαία  $\eta(x, y)$ . Για  $z = \eta(x, y)$ :

– Erlang (Gamma)

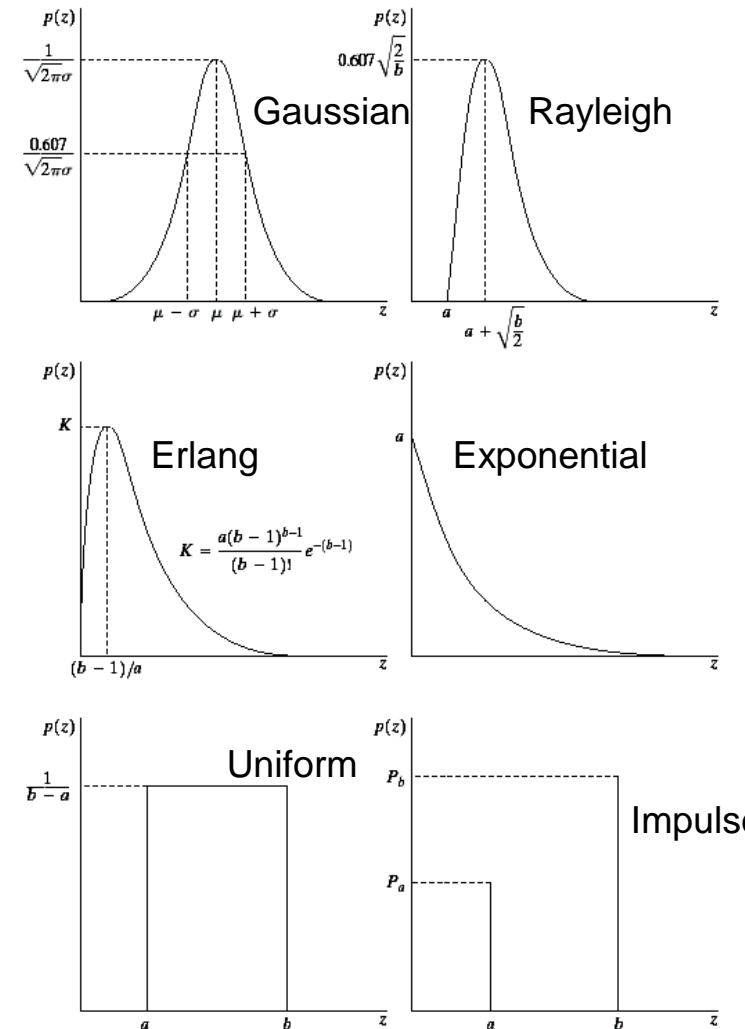
$$p(z) = \begin{cases} \frac{\alpha^b z^{b-1}}{(b-1)!} e^{-\alpha z}, & z \geq 0 \\ 0, & z < 0 \end{cases}$$



Πολλοί τρόποι να οριστεί η  
τυχαία  $\eta(x, y)$ . Για  $z = \eta(x, y)$ :

– Exponential

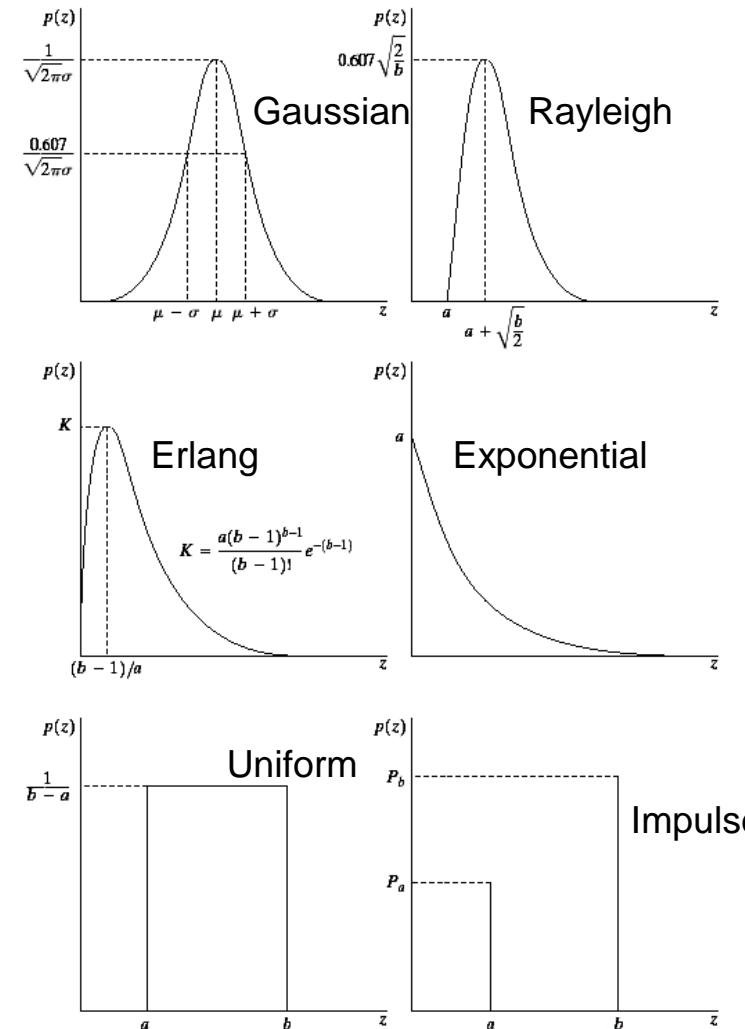
$$p(z) = \begin{cases} \alpha e^{-\alpha z}, & z \geq 0 \\ 0, & z < 0 \end{cases}$$



Πολλοί τρόποι να οριστεί η  
τυχαία  $\eta(x, y)$ . Για  $z = \eta(x, y)$ :

– Uniform

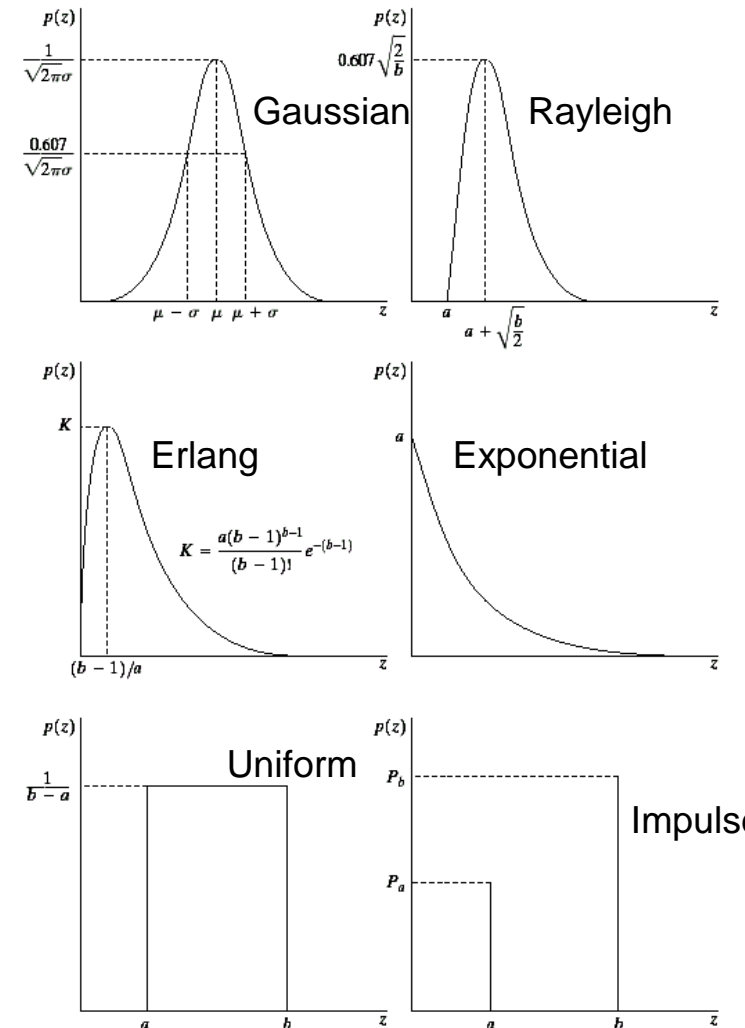
$$p(z) = \begin{cases} \frac{1}{b-a}, & a \leq z \leq b \\ 0, & \text{αλλιώς} \end{cases}$$



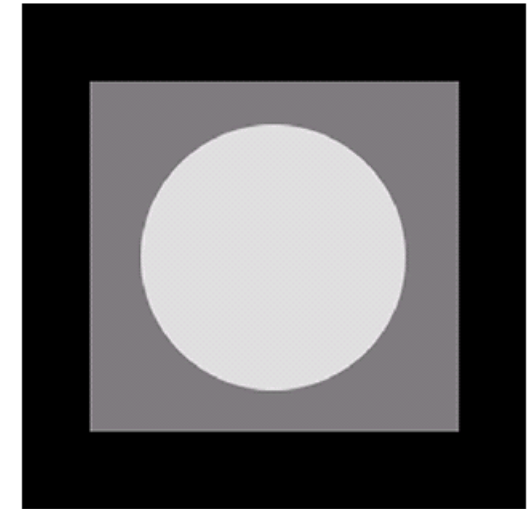
Πολλοί τρόποι να οριστεί η  
*τυχαία*  $\eta(x, y)$ . Για  $z = \eta(x, y)$ :

– Impulse

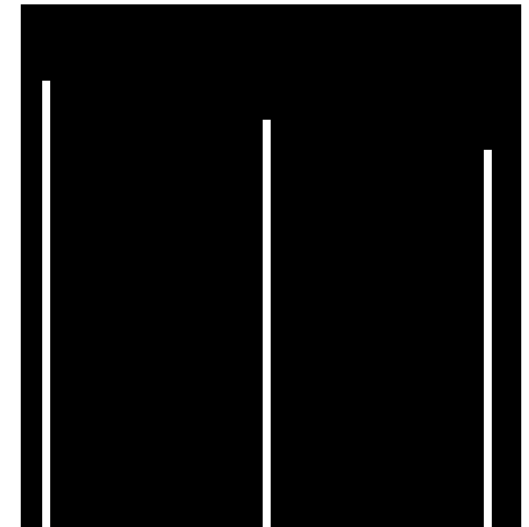
$$p(z) = \begin{cases} P_\alpha, z = \alpha \\ P_b, z = b \\ 0, \alpha \lambda \lambda \iota \acute{\omega} \varsigma \end{cases}$$



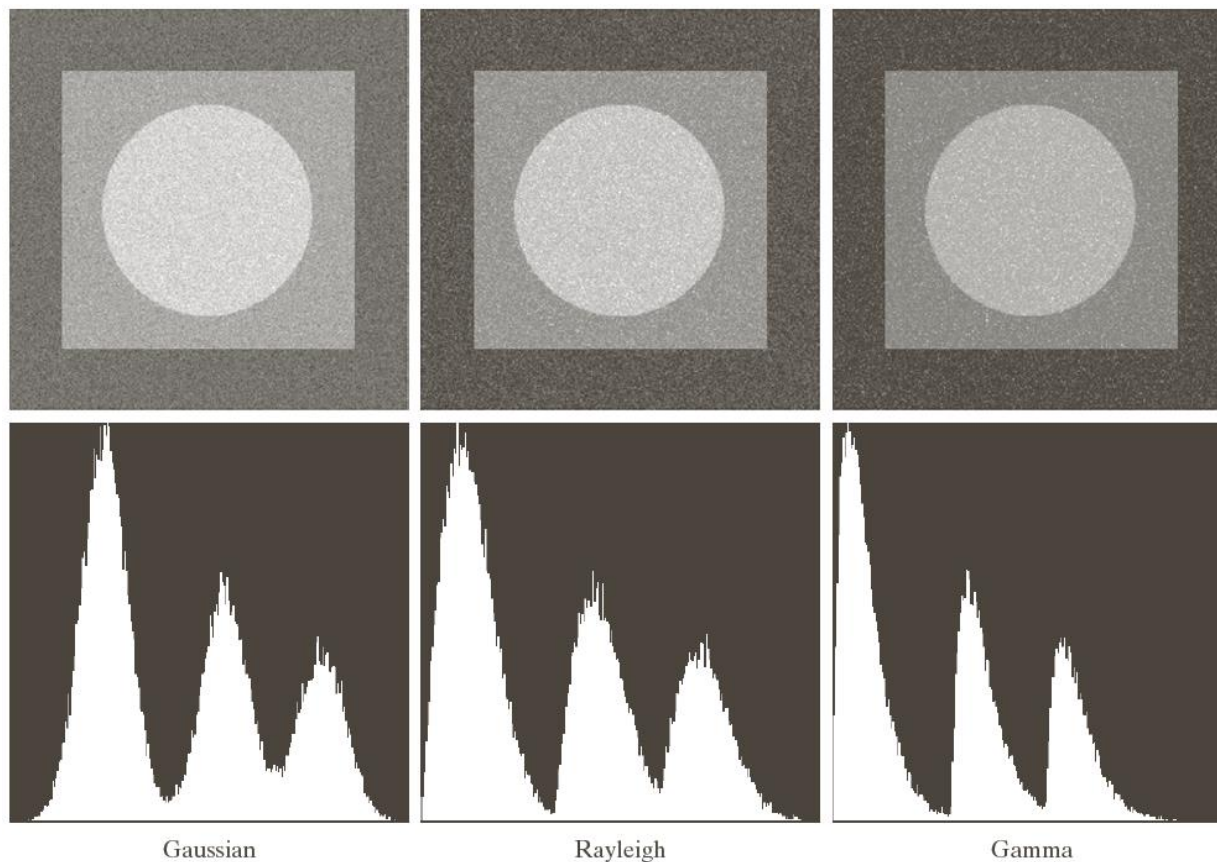
- Παράδειγμα :
  - Θα χρησιμοποιήσουμε την εικόνα πάνω δεξιά σαν την  $f$  στην οποία θα προσθέσουμε διαφόρων τύπου θόρυβου κάθε φορά



Image

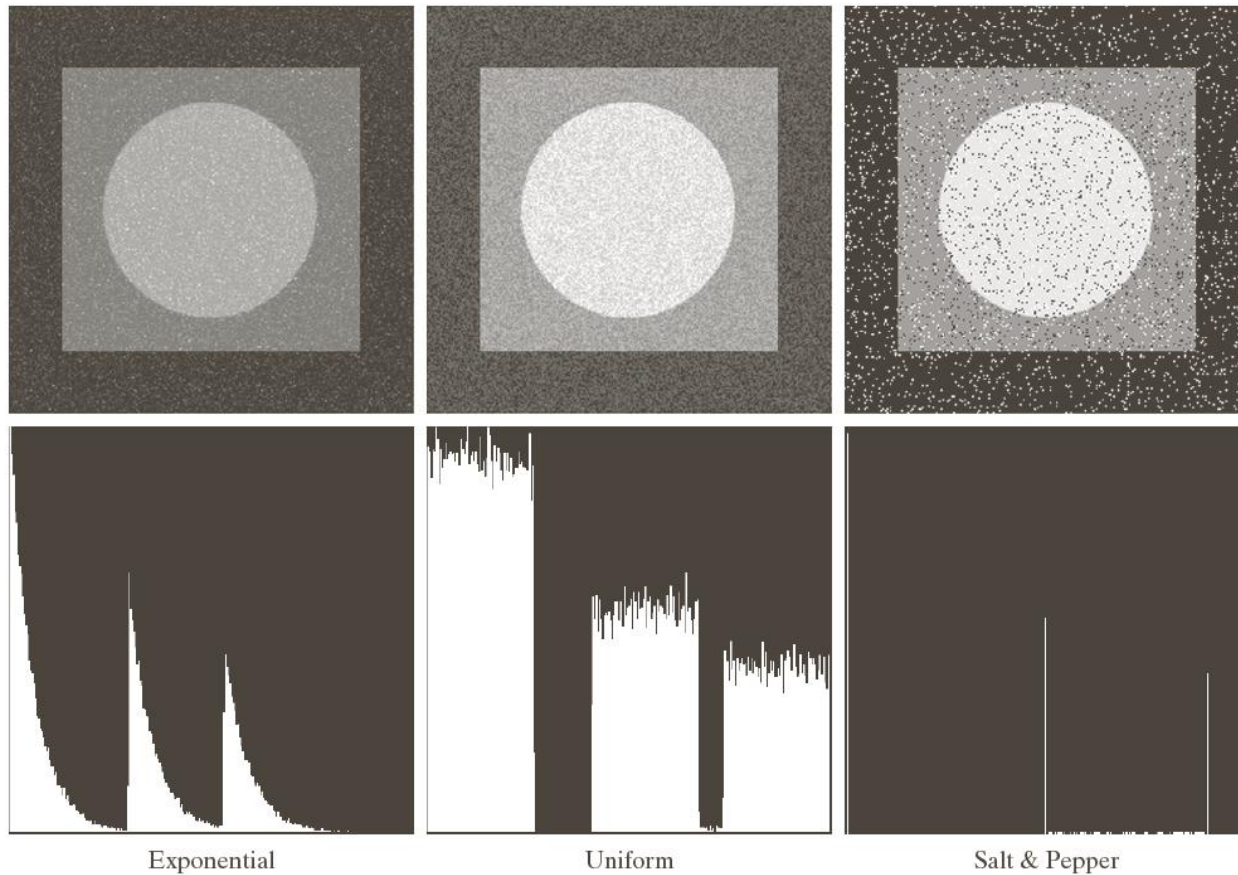


Histogram



a	b	c
d	e	f

**FIGURE 5.4** Images and histograms resulting from adding Gaussian, Rayleigh, and gamma noise to the image in Fig. 5.3.



g	h	i
j	k	l

**FIGURE 5.4** (Continued) Images and histograms resulting from adding exponential, uniform, and salt and pepper noise to the image in Fig. 5.3.

# Ανάκτηση εικόνας που έχει υποβαθμιστεί λόγω θορύβου

- Διαφορετικά χωρικά φίλτρα για διαφορετικό θόρυβο
- Το φίλτρο αριθμητικού μέσου (*arithmetic mean filter*) είναι από τα πιο απλά:

$$\hat{f}(x, y) = \frac{1}{mn} \sum_{(s,t) \in S_{xy}} g(s, t)$$

1/9	1/9	1/9
1/9	1/9	1/9
1/9	1/9	1/9

Απλό φίλτρο εξομάλυνσης  
Θολώνει την εικόνα



# Ανάκτηση εικόνας που έχει υποβαθμιστεί λόγω θορύβου

- Υπάρχουν διάφορα άλλα είδη φίλτρων, τα οποία παρουσιάζουν διαφορετική συμπεριφορά:
  - Γεωμετρικός μέσος
  - Αρμονικός μέσος
  - Αντιαρμονικός (Contraharmonic) μέσος

# Ανάκτηση εικόνας που έχει υποβαθμιστεί λόγω θορύβου

## Γεωμετρικός μέσος:

$$\hat{f}(x, y) = \left[ \prod_{(s,t) \in S_{xy}} g(s, t) \right]^{\frac{1}{mn}}$$

- Πετυχαίνει παρόμοια εξομάλυνση, αλλά τείνει να απομακρύνει λιγότερες λεπτομέρειες.

# Ανάκτηση εικόνας που έχει υποβαθμιστεί λόγω θορύβου

## Αρμονικός μέσος:

$$\hat{f}(x, y) = \frac{mn}{\sum_{(s,t) \in S_{xy}} \frac{1}{g(s,t)}}$$

- Δουλεύει καλά για θόρυβο αλάτι, αποτυχαίνει για θόρυβο πιπέρι.
- Επίσης δουλεύει καλά για άλλους τύπους θορύβου όπως τον Gaussian.

# Ανάκτηση εικόνας που έχει υποβαθμιστεί λόγω θορύβου

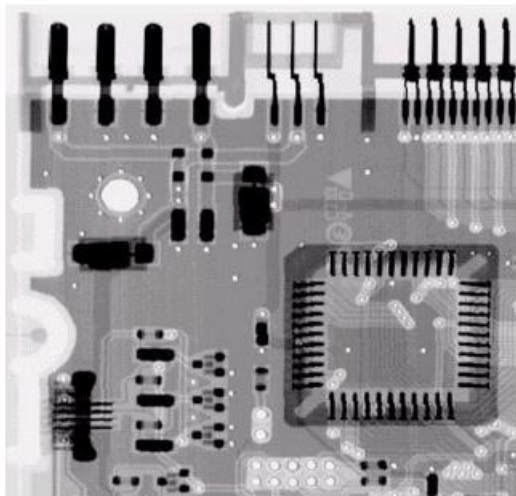
## Αντιαρμονικός (Contraharmonic) μέσος:

$$\hat{f}(x, y) = \frac{\sum_{(s,t) \in S_{xy}} g(s, t)^{Q+1}}{\sum_{(s,t) \in S_{xy}} g(s, t)^Q}$$

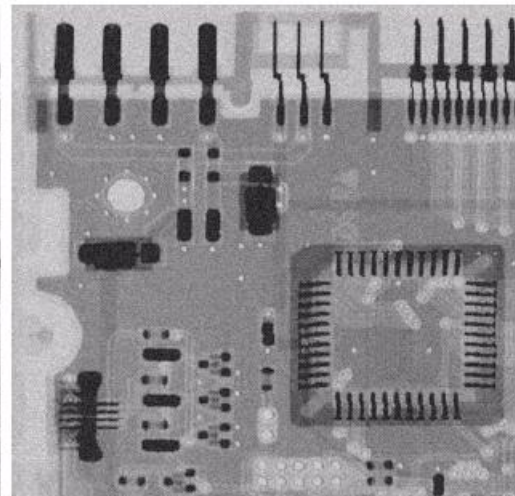
- Q είναι η τάξη του φίλτρου.
- Θετικές τιμές του Q απομακρύνουν τον θόρυβο πιπέρι.
- Αρνητικές τιμές του Q απομακρύνουν τον θόρυβο αλάτι.
- Παρατηρήστε την σχέση της εξίσωσης του αντιαρμονικού με αυτές του αριθμητικού και του αρμονικού μέσου

# Παραδείγματα απομάκρυνσης θορύβου

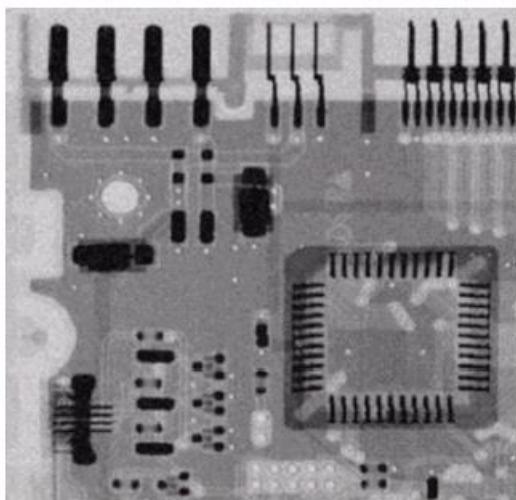
Αρχική εικόνα



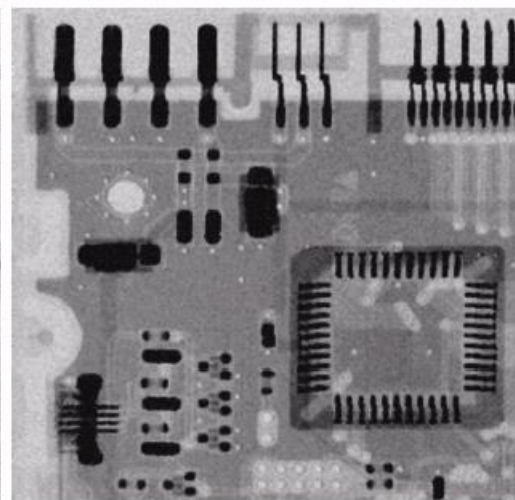
Εικόνα  
υποβαθμισμένη  
από Gaussian  
θόρυβο



3x3  
Αριθμητικός  
μέσος όρος

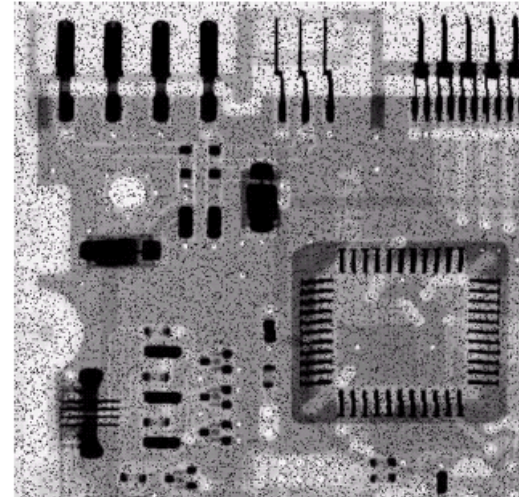


3x3  
Γεωμετρικός  
μέσος όρος  
(λιγότερη  
εξομάλυνση από  
τον Αρ.Μέσο, η  
εικόνα είναι πιο  
οξεία)

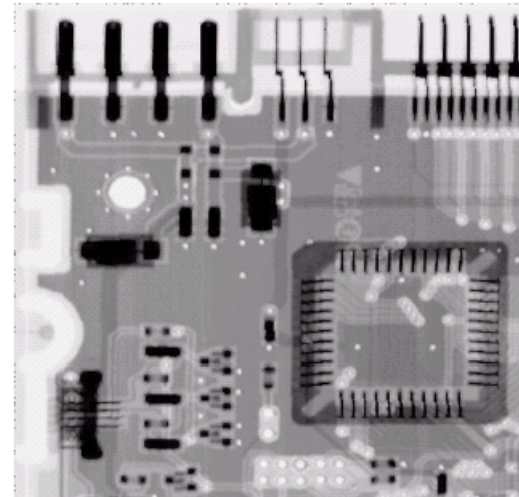


# Παραδείγματα απομάκρυνσης θορύβου

Εικόνα υποβαθμισμένη  
από θόρυβο πιπέρι  
έντασης 0.1

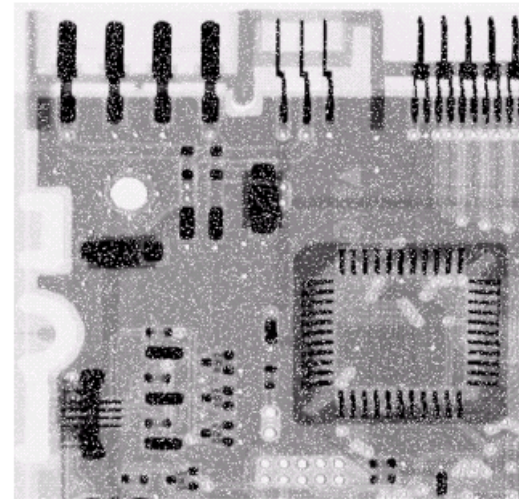


Φιλτράρισμα με 3x3  
Contra-harmonic φίλτρο  
τάξης  $Q=1.5$

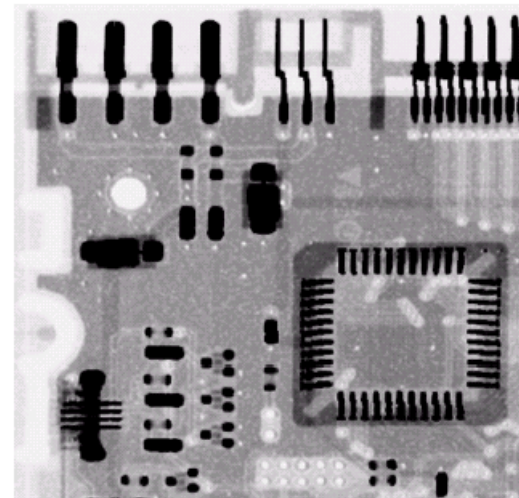


# Παραδείγματα απομάκρυνσης θορύβου

Εικόνα υποβαθμισμένη  
από θόρυβο αλάτι  
έντασης 0.1



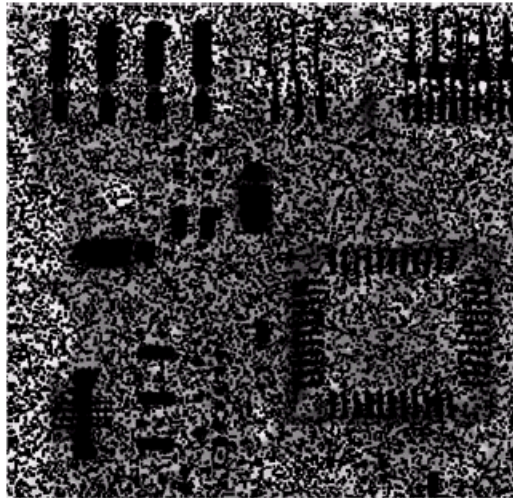
Φιλτράρισμα με 3x3  
Contra-harmonic φίλτρο  
τάξης  $Q=-1.5$



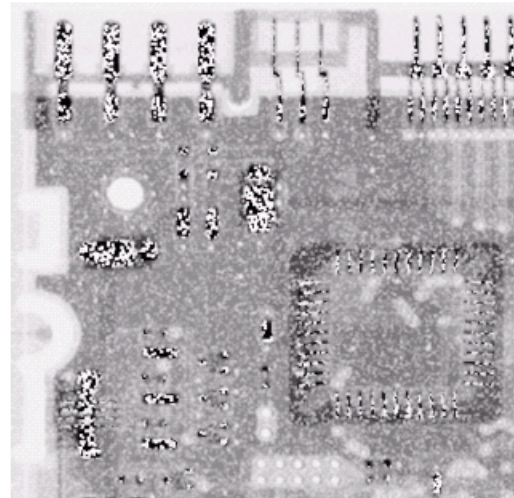


# Παραδείγματα απομάκρυνσης θορύβου

- Η αποτελεσματικότητα του φίλτρου εξαρτάται από την επιλογή της παραμέτρου  $Q$
- ‘Κακό’  $Q$  μπορεί να υποβαθμίσει ακόμα περισσότερο την εικόνα !



Εικόνα με θόρυβο  
πιπέρι φιλτραρισμένη με  
 $3 \times 3$  CF,  $Q = -1.5$



Εικόνα με θόρυβο αλάτι  
φιλτραρισμένη με  $3 \times 3$  CF,  
 $Q = 1.5$



- Χωρικά φίλτρα βασισμένα στην *αριθμητική διάταξη* των τιμών των εικονοστοιχείων γειτονιάς
- Χρήσιμα φίλτρα διάταξης περιλαμβάνουν
  - Φίλτρο διάμεσου
  - Φίλτρο max και min
  - Φίλτρο midpoint
  - Φίλτρο α-trimmed μέσου

## Φίλτρο διάμεσου (Median Filter):

$$\hat{f}(x, y) = \underset{(s,t) \in S_{xy}}{\text{median}}\{g(s, t)\}$$

- Πολύ καλό για απομάκρυνση θορύβου, αποφεύγεται η εξομάλυνση που πραγματοποιούν άλλα φίλτρα.
- Εξαιρετικό όταν υπάρχει θόρυβος αλάτι-πιπέρι.

**Φίλτρο Max:**

$$\hat{f}(x, y) = \max_{(s,t) \in S_{xy}} \{g(s, t)\}$$

**Φίλτρο Min:**

$$\hat{f}(x, y) = \min_{(s,t) \in S_{xy}} \{g(s, t)\}$$

- Το Max filter είναι καλό για θόρυβο πιπέρι, ενώ το Min filter είναι καλό για θόρυβο αλάτι.

## Φίλτρο Midpoint:

$$\hat{f}(x, y) = \frac{1}{2} \left[ \max_{(s,t) \in S_{xy}} \{g(s, t)\} + \min_{(s,t) \in S_{xy}} \{g(s, t)\} \right]$$

- Καλό για Gaussian ή ομοιόμορφο θόρυβο.

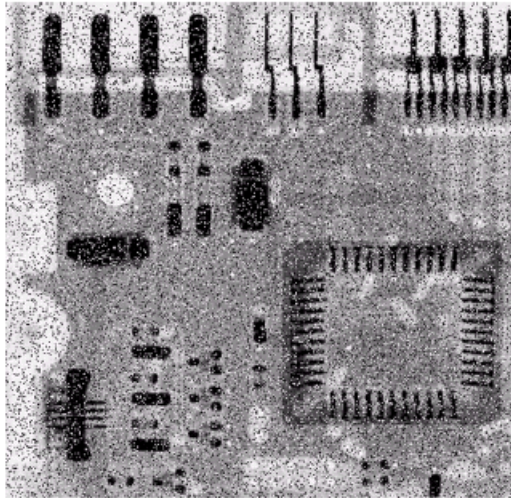
**Φίλτρο  $\alpha$ -Trimmed μέσου:**

$$\hat{f}(x, y) = \frac{1}{mn - d} \sum_{(s, t) \in S_{xy}} g_r(s, t)$$

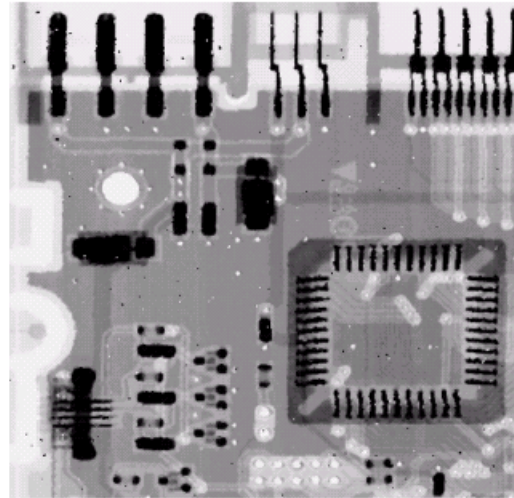
- Δεν λαμβάνουμε υπ' όψιν τις  $d/2$  χαμηλότερες και τις  $d/2$  υψηλότερες εντάσεις της γειτονιάς.
- Επομένως το  $g_r(s, t)$  περιλαμβάνει  $mn - d$  pixels.

# Παραδείγματα απομάκρυνσης θορύβου

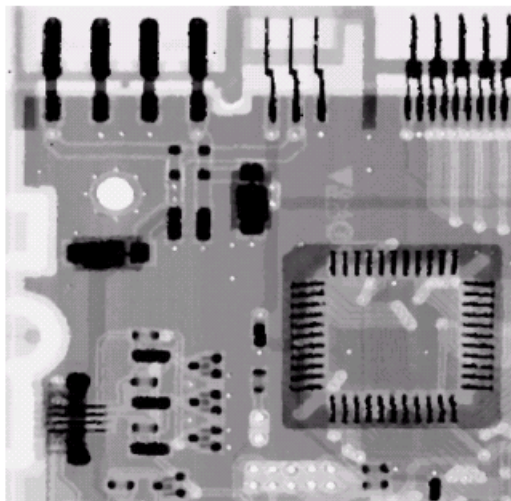
Θόρυβος  
αλάτι-πιπέρι,  
έντασης 0.2



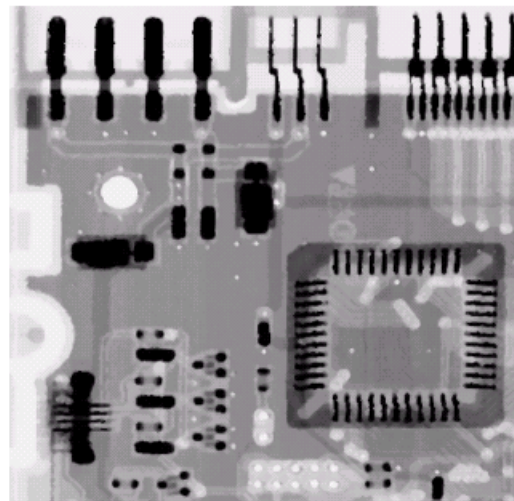
1 πέρασμα με  
3x3 median



2 περάσματα  
3x3 median



3 περάσματα  
3x3 median

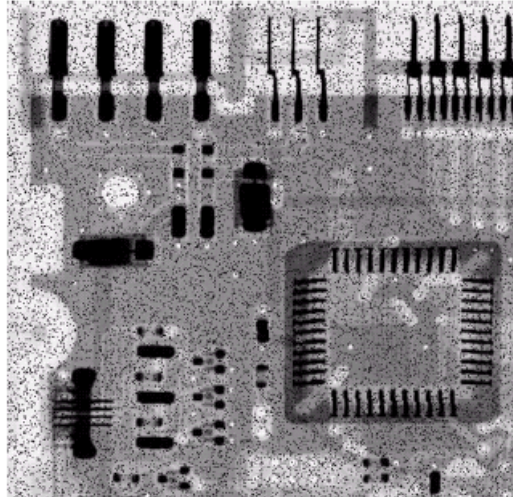


Επαναλαμβανόμενα περάσματα απομακρύνουν θόρυβο αλλά θολώνουν  
και την εικόνα

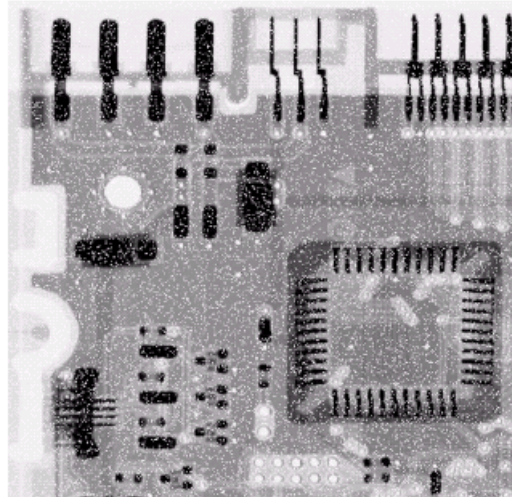


# Παραδείγματα απομάκρυνσης θορύβου

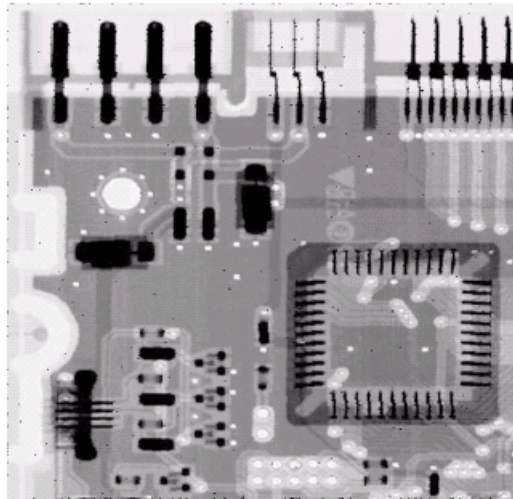
Θόρυβος  
πιπέρι



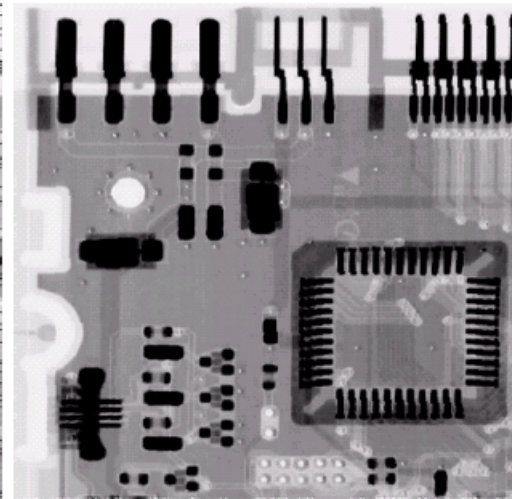
Θόρυβος  
αλάτι



Φιλτράρισμα  
με 3x3  
Max Filter

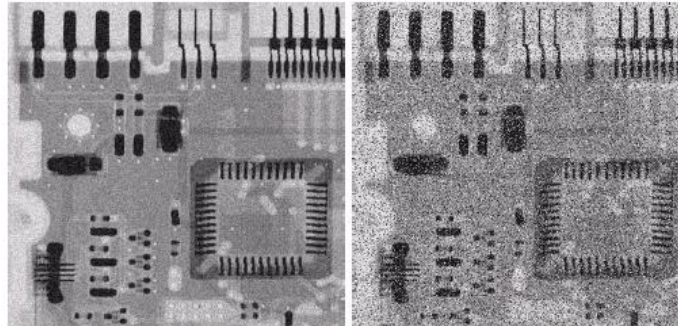


Φιλτράρισμα  
με 3x3  
Min Filter



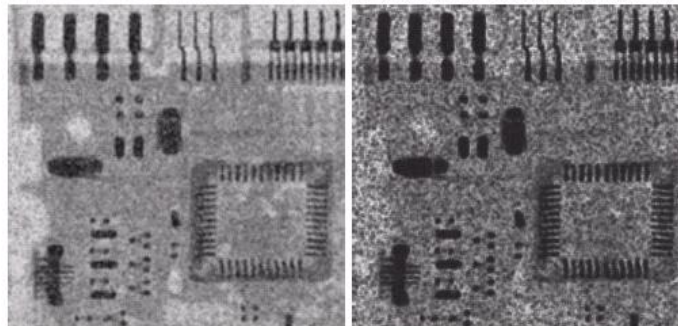
# Παραδείγματα απομάκρυνσης θορύβου

Εικόνα  
υποβαθμισμένη  
με ομοιόμορφο  
θόρυβο



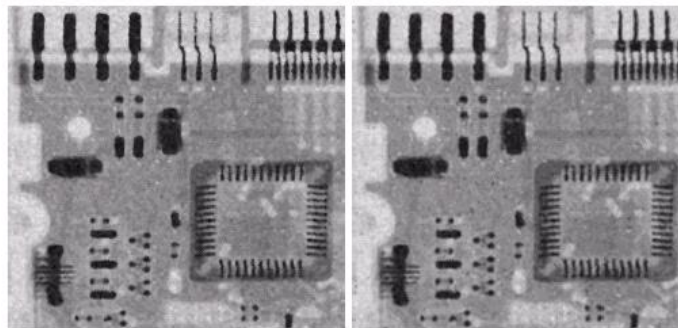
Εικόνα υποβαθμισμένη  
από θόρυβο αλάτι-  
πιπέρι

Φιλτράρισμα με 5x5  
φίλτρο αριθμητικού  
μέσου



Φιλτράρισμα με 5x5  
φίλτρο γεωμετρικού  
μέσου

Φιλτράρισμα με 5x5  
φίλτρο median



Φιλτράρισμα με 5x5 α-  
trimmed μέσου ( $d=5$ )



- Τα φίλτρα που είδαμε μέχρι τώρα εφαρμόζονται με τον ίδιο τρόπο σε ολόκληρη την εικόνα
- Η συμπεριφορά των **προσαρμοζόμενων (*adaptive*) φίλτρων** αλλάζει αναλόγως τα χαρακτηριστικά του τμήματος της εικόνας που επιδρά το φίλτρο.
- Θα δούμε το **φίλτρο προσαρμοζόμενου διάμεσου (adaptive median filter)**.

# Φίλτρο προσαρμοζόμενου διάμεσου

- Το φίλτρο διάμεσου (median filter) είναι αποτελεσματικό για κρουστικό (αλάτι-πιπέρι) θόρυβο εφ'όσον η χωρική πυκνότητα του θορύβου δεν είναι πολύ μεγάλη.
- Το προσαρμοστικό φίλτρο διαμέσου μπορεί να μεταχειριστεί πολύ χωρικά πυκνότερο κρουστικό θόρυβο, και εξομαλύνει μερικά την εικόνα όταν υπάρχει μη κρουστικός θόρυβος.

# Φίλτρο προσαρμοζόμενου διάμεσου

- Το adaptive median filter έχει τρεις στόχους:
  - Απομάκρυνση κρουστικού θορύβου
  - Εξομάλυνση άλλων τύπων θορύβου
  - Αποφυγή υπερβολικού thinning or thickening των ακμών των αντικειμένων).

- Notation:

- $S_{xy}$  = η γειτονιά του φίλτρου γύρω από  $(x, y)$
- $z_{min}$  =  $\min( S_{xy} )$
- $z_{max}$  =  $\max( S_{xy} )$
- $z_{med}$  =  $\text{median}( S_{xy} )$
- $z_{xy}$  = τιμή στο  $(x, y)$
- $S_{max}$  = μέγιστο επιτρεπτό μέγεθος για  $S_{xy}$

# Φίλτρο προσαρμοζόμενου διάμεσου

Stage A:  $A1 = z_{med} - z_{min}$   
 $A2 = z_{med} - z_{max}$   
If  $A1 > 0$  and  $A2 < 0$ , Go to stage B  
Else increase the window size  
If window size  $\leq S_{max}$  repeat stage A  
Else output  $z_{med}$

Stage B:  $B1 = z_{xy} - z_{min}$   
 $B2 = z_{xy} - z_{max}$   
If  $B1 > 0$  and  $B2 < 0$ , output  $z_{xy}$   
Else output  $z_{med}$

# Φίλτρο προσαρμοζόμενου διάμεσου

Stage A:  $A1 = z_{med} - z_{min}$   
 $A2 = z_{med} - z_{max}$   
If  $A1 > 0$  and  $A2 < 0$ , Go to stage B  
Else increase the window size  
If window size  $\leq S_{max}$  repeat stage A  
Else output  $z_{med}$

- Στο stage A αποφασίζουμε αν η έξοδος του median filter  $z_{med}$  είναι στην πραγματικότητα το αποτέλεσμα κρουστικού θορύβου (μαύρο ή άσπρο).
- Αν όχι, πάμε στο stage B.
- Αν ναι, το μέγεθος του παραθύρου αυξάνεται μέχρι να φτάσουμε το  $S_{max}$  ή μέχρι να αποφασίσουμε ότι το  $z_{med}$  για το νέο μέγεθος δεν είναι αποτέλεσμα κρουστικού θορύβου.
- Δεν υπάρχει εγγύηση ότι το  $z_{med}$  δεν θα είναι κρουστικός θόρυβος. Ωστόσο, όσο μικρότερη η πυκνότητα του θορύβου, και όσο μεγαλύτερο το μέγεθος του παραθύρου, τόσο πιο απίθανο θα είναι το να αντιστοιχεί το  $z_{med}$  σε αποτέλεσμα κρουστικού θορύβου.

# Φίλτρο προσαρμοζόμενου διάμεσου

Stage B:

$$B1 = z_{xy} - z_{min}$$
$$B2 = z_{xy} - z_{max}$$

If  $B1 > 0$  and  $B2 < 0$ , output  $z_{xy}$

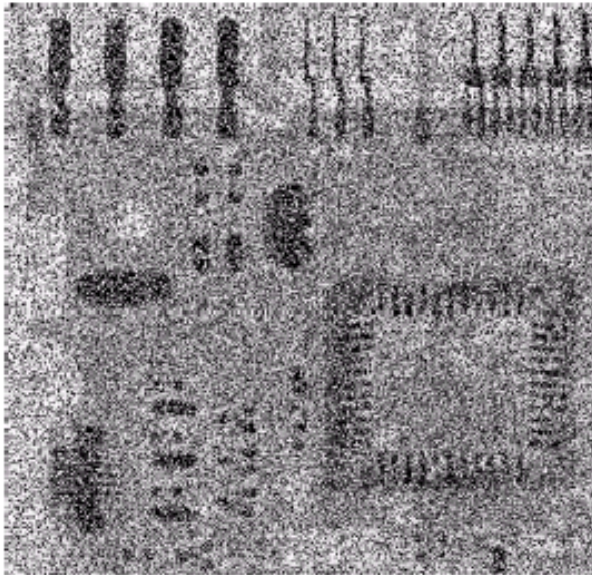
Else output  $z_{med}$

Στο Stage B καθορίζουμε αν το  $z_{xy}$  (η τιμή στο  $xy$ ) είναι αποτέλεσμα κρουστικού θορύβου.

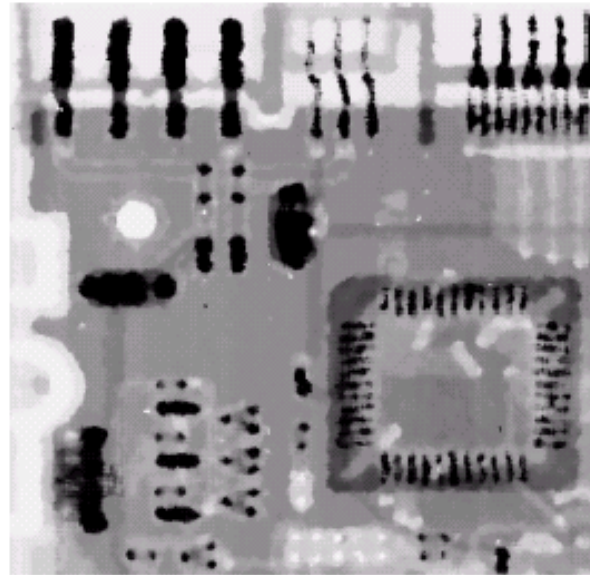
Αν όχι, ο αλγόριθμος δίνει σαν αποτέλεσμα  $z_{xy}$ .

Αν ναι, ο αλγόριθμος θα δώσει το median  $z_{med}$ .

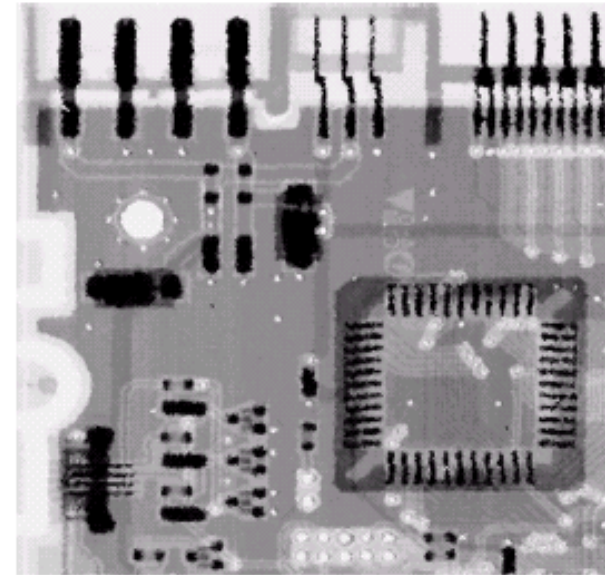
# Παράδειγμα προσαρμοζόμενου φιλτραρίσματος



Εικόνα με θόρυβο αλάτι-  
πιπέρι έντασης  $P_a =$   
 $P_b = 0.25$



Αποτέλεσμα  
φιλτραρίσματος με 7x7  
median filter

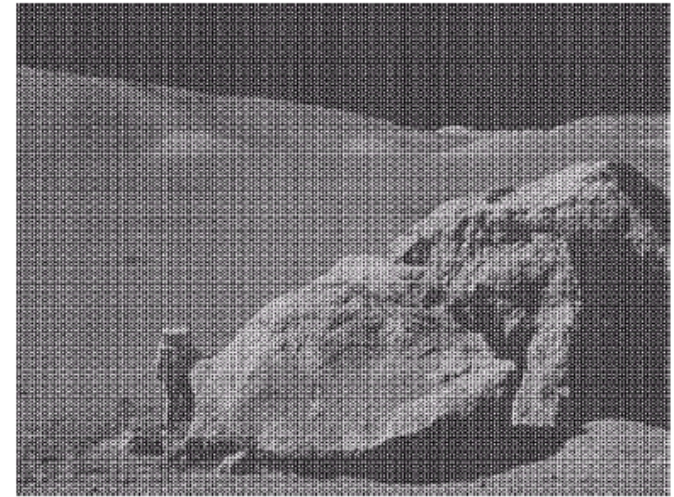


Αποτέλεσμα adaptive  
median filtering με  
 $S_{max} = 7$

Το AMF διατηρεί καλύτερα την οξύτητα και λεπτομέρειες.

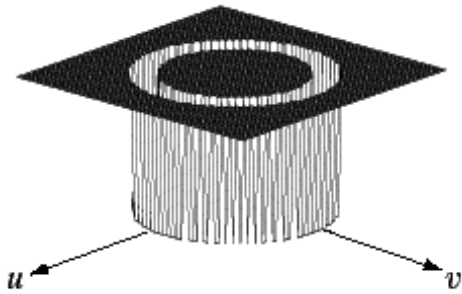


- Εμφανίζεται συνήθως σαν αποτέλεσμα ηλεκτρικών ή ηλεκτρομαγνητικών παρεμβολών, μοτίβα Moiré κλπ.
- Τεχνικές στο πεδίο των συχνοτήτων είναι οι πιο αποτελεσματικές για να αντιμετωπιστεί τέτοιου είδους θόρυβος.

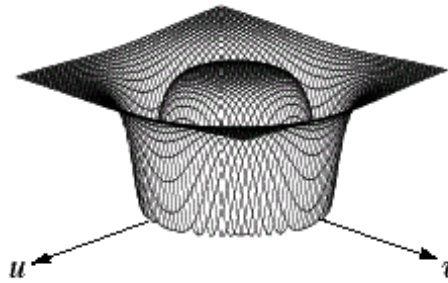


- Η αφαίρεση περιοδικού θορύβου αφορά την απομάκρυνση ενός συγκεκριμένου εύρους συχνοτήτων από την εικόνα => ζωνοφρακτικά φίλτρα (band reject filter)
- Ιδεατό ζωνοφρακτικό φίλτρο:

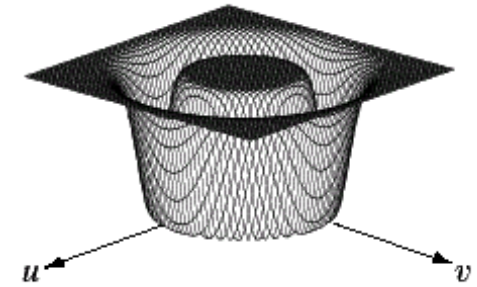
$$H(u, v) = \begin{cases} 1 & \text{if } D(u, v) < D_0 - \frac{W}{2} \\ 0 & \text{if } D_0 - \frac{W}{2} \leq D(u, v) \leq D_0 + \frac{W}{2} \\ 1 & \text{if } D(u, v) > D_0 + \frac{W}{2} \end{cases}$$



Ideal Band  
Reject Filter



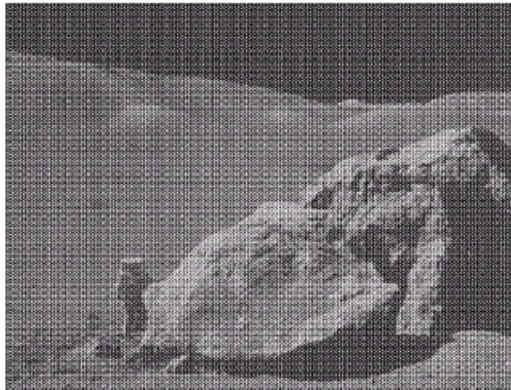
Butterworth  
Band Reject  
Filter (of order 1)



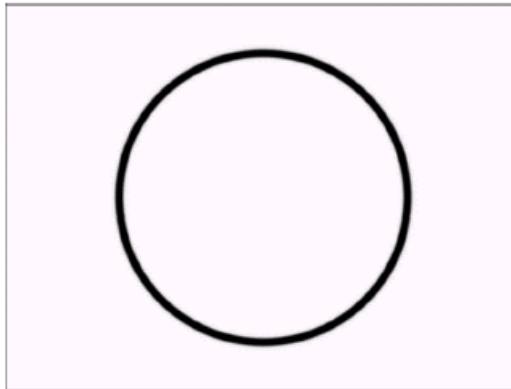
Gaussian  
Band Reject  
Filter

# Ζωνοφρακτικά φίλτρα

Image corrupted by  
sinusoidal noise



Fourier spectrum of  
corrupted image



Butterworth band  
reject filter



Filtered image

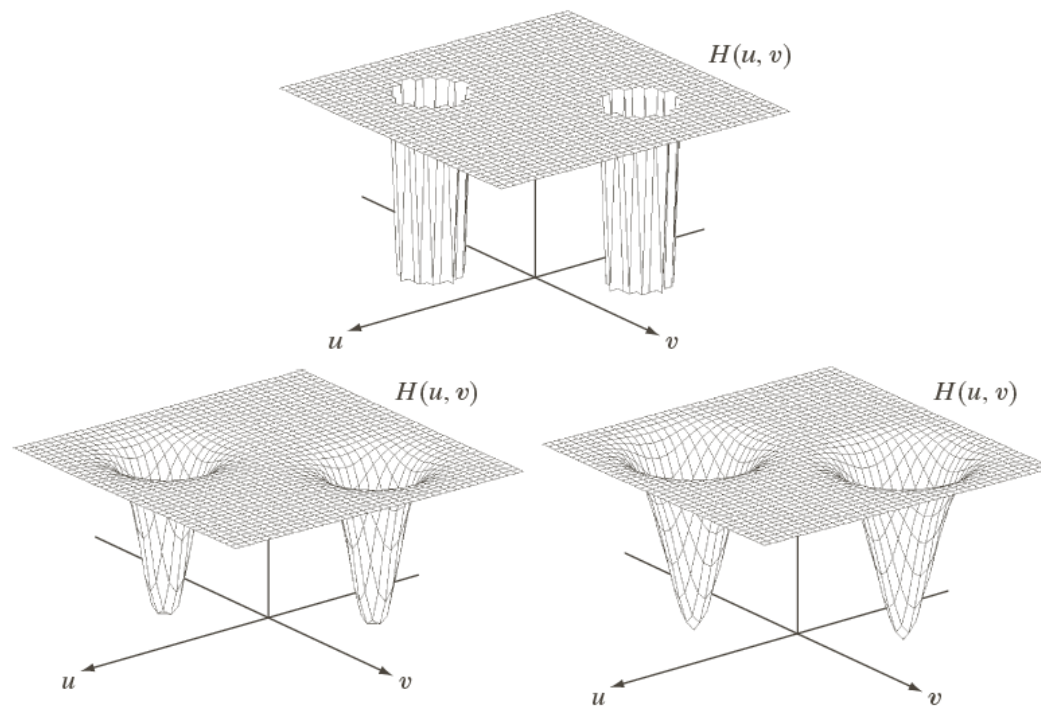
# Φίλτρα εγκοπής (notch)

- Απορρίπτει συχνότητες γύρω από μια ορισμένη γειτονιά μιας κεντρικής συχνότητας

a  
b c

**FIGURE 5.18**

Perspective plots of (a) ideal, (b) Butterworth (of order 2), and (c) Gaussian notch (reject) filters.





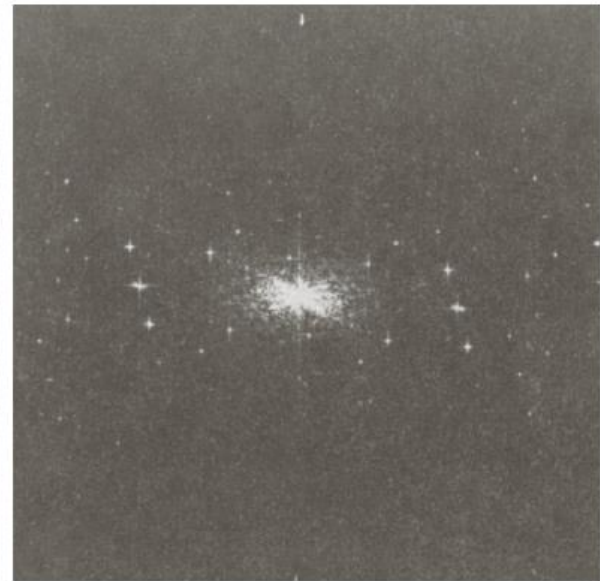
# Βέλτιστο notch φιλτράρισμα

- Υποθέτουμε ότι έχουμε πολλαπλές συνιστώσες παρεμβολής (όχι μία μόνο προφανή ριπή).
- Πρόβλημα : Αφαιρώντας συχνότητες μπορεί να αφαιρέσουμε και χρήσιμη πληροφορία.

a b

**FIGURE 5.20**

(a) Image of the Martian terrain taken by *Mariner 6*.  
(b) Fourier spectrum showing periodic interference.  
(Courtesy of NASA.)



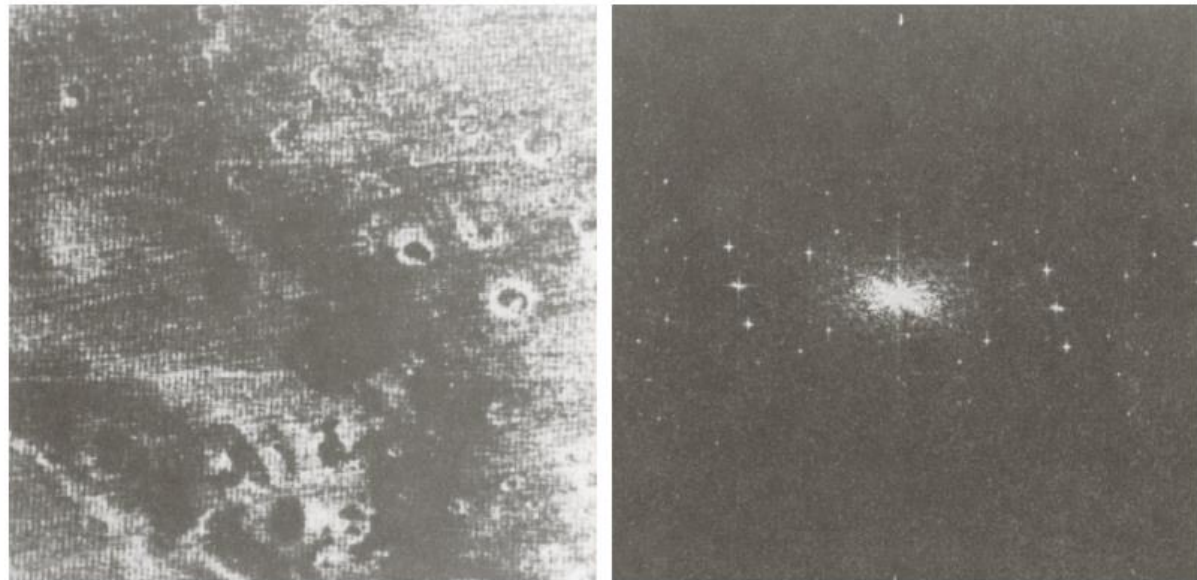
# Βέλτιστο notch φιλτράρισμα

- Εφαρμόζουμε notch φιλτράρισμα και εντοπίζουμε τις γειτονιές ενδιαφέροντος.
- Αφαιρούμε μέρος κάθε ριπής

a b

**FIGURE 5.20**

(a) Image of the Martian terrain taken by *Mariner 6*.  
(b) Fourier spectrum showing periodic interference.  
(Courtesy of NASA.)





# Βέλτιστο notch φιλτράρισμα

- Εκτίμηση του θορύβου στο πεδίο των συχνοτήτων:

$$N(k, l) = H(k, l)G(k, l)$$

- Στο πεδίο του χώρου:

$$\eta(m, n) = \mathfrak{F}^{-1} \{ H(k, l)G(k, l) \}$$

- Εκτίμηση εικόνας χωρίς θόρυβο:

$$\hat{f}(m, n) = g(m, n) - w(m, n)\eta(m, n)$$

# Βέλτιστο notch φιλτράρισμα

$$\hat{f}(m, n) = g(m, n) - w(m, n)\eta(m, n)$$

- Υπολογίζουμε το βάρος που θα ελαχιστοποιήσει την απόκλιση της έντασης σε γειτονιά γύρω από το  $(m, n)$ :

$$\sigma(m, n) = \frac{1}{(2a+1)(2b+1)} \sum_{k=-a}^a \sum_{l=-b}^b \left[ \hat{f}(m+k, n+l) - \bar{\hat{f}}(m, n) \right]^2$$

$$\text{με} \quad \bar{\hat{f}}(m, n) = \frac{1}{(2a+1)(2b+1)} \sum_{k=-a}^a \sum_{l=-b}^b \hat{f}(m+k, n+l)$$

- Αντικαθιστώντας την εκτίμηση στο  $\sigma(m, n)$  μας δίνει:

# Βέλτιστο notch φιλτράρισμα

$$\sigma(m, n) = \frac{1}{(2a+1)(2b+1)} \sum_{k=-a}^a \sum_{l=-b}^b \left\{ \left[ g(m+k, n+l) - w(m+k, n+l) \eta(m+k, n+l) \right] - \left[ \bar{g}(m, n) - \overline{w(m, n) \eta(m, n)} \right] \right\}^2$$

- Μία απλούστευση είναι να θεωρήσουμε το βάρος σταθερό πάνω στη γειτονιά:

$$w(m+k, n+l) = w(m, n), \quad -a \leq k \leq a, \quad -b \leq l \leq b$$

$$\sigma(m, n) = \frac{1}{(2a+1)(2b+1)} \sum_{k=-a}^a \sum_{l=-b}^b \left\{ \left[ g(m+k, n+l) - w(m, n) \eta(m+k, n+l) \right] - \left[ \bar{g}(m, n) - w(m, n) \bar{\eta}(m, n) \right] \right\}^2$$

# Βέλτιστο notch φιλτράρισμα

- Θέλουμε να ελαχιστοποιήσουμε την απόκλιση:

$$\frac{\partial \sigma(m, n)}{\partial w(m, n)} = 0$$

Απ'όπου παίρνουμε:

$$w(m, n) = \frac{\overline{g(m, n)\eta(m, n)} - \bar{g}(m, n)\bar{\eta}(m, n)}{\overline{\eta^2(m, n)} - \bar{\eta}^2(m, n)}$$

- Πιο ακριβές αποτέλεσμα μπορούμε να έχουμε θεωρώντας μη-σταθερό βάρος  $w(m, n)$  σε κάθε pixel.